

Referências Bibliográficas

- [ADAMS] ADAMS. **The Specialized Virtual Prototyping Environment for Railcar Engineering.** California. 2.3
- [Andersen-2003] ANDERSEN, L.; NIELSEN, S.. **Vibrations of a track caused by variation of the foundation stiffness.** p. 171–184, Aalborg, Denmark, 2003. 2.3
- [Anuario] DELFT, T.. **Annual Reports.** Holanda, 1996-2001. (document), 2.3, 2.7
- [CORUS] RAIL, C.. **The Track Handbook.** California. (document), 5.10
- [Celebi-1998] CELEBI, E.; KUTANIS, M. ; FIRAT, S.. **Application of Numerical Methods for Analysis of Propagation of Vibrations generated by Moving Load.** Germany., 1998. 2.3
- [Chaves-2003] CHAVES, R. A. P.. **O método híbrido simplificado dos elementos de contorno aplicado a problemas dependentes do tempo.** 182 f. Tese de Doutorado - Programa de Pós-graduação em Engenharia Civil, Pontifícia Universidade Católica do Rio de Janeiro, Rio de Janeiro, 2003. 3.3
- [DNIT] Departamento Nacional de Infraestrutura de Transportes, Brasília, Brazil. **Ferrovias Brasileiras.** 2.1
- [Degrande-2001] DEGRANDE, G.; SCHILLEMANS, L.. **Free field vibrations during the passage of a high speed train.** p. 131–144, Lewven, Belgium., 2001. 2.3
- [Dumont-1987] DUMONT, N. A.. **The hybrid boundary element method.** In: BREBBIA, C.A.; WENDLAND, W.; KUHN, G, editor, **BOUNDARY ELEMENTS IX**, v. 1, **Mathematical and Computational Aspects**, p. 125–138, Southampton, 1987. Computational Mechanics Publications, Springer-Verlag. 3.3

- [Dumont-2001] DUMONT, N. A.; OLIVEIRA, R.. **From frequency-dependent mass an stiffness matrices to the dynamic response of elastic systems.** Int. J. Sol. Struct., p. 1813–1830, 2001. 2.6, 3.6
- [Dumont-2003] DUMONT, N. A.; CHAVES, R. A. P.. **General time-dependent analysis with the frequency-domain hybrid boundary element method.** Computer Assisted Mechanics and Engineering Sciences, n. 10, p. 431-452 2003. 1, 1.1, 2.6, 3.3, 3.4, 3.6, 4.2.2
- [Dumont-1997] DUMONT, N. A.; OLIVEIRA, R.. **The exact dynamic formulation of the hybrid boundary element method.** In: Procs. XVIII CILAMCE-XVIII Iberian Latin-American Congress on Computational Methods in Engineering, p. 357–364, 2003. 2.6
- [Dumont-2005] DUMONT, N. A.. **An advanced mode superposition technique for the general analysis of time dependent problems.** In: ADVANCES IN BOUNDARY ELEMENT TECHNIQUES VI, p. 333–344, England, 26-24 maio 2005. 3.6, 4.3
- [Dumont-2006] DUMONT, N. A.. **On the solution of generalized nonlinear complex-symmetric eigenvalue problems.** International Journal for Numeric Methods in Engineering, May 2006. 2.6, 3.5
- [Dumont-2006-2] DUMONT, N. A.; OLIVEIRA, A. C.. **A dynamic interaction model of railway track structural elements.** In: IN: PROCS. CILAMCE-2006 IBERIAN LATIN-AMERICAN CONGRESS ON COMPUTATIONAL METHODS IN ENGINEERING, p. 15 pp on CD, Belém, Brazil, 3-6 Setembro 2006. 3.1, 3.3, 3.7
- [Dumont-2006-1] DUMONT, N. A.. **On the inverse of generalized λ -matrices with singular leading term.** International Journal for Numeric Methods in Engineering, p. 66:571–603, 2006. 3.4, 3.7, A
- [Esveld-1997] ESVELD, C.. **Innovations in Railway Track.** Netherlands, 1997. 2.3
- [Esveld-1998] ESVELD, C.; KOK, A. W. M. ; MAN, A. P.. **Integrated numerical and experimental research of railway track structures.** Fourth International Workshop on Design Theories and their Verification of Concrete Slabs for Pavements and Railroads, 10-12 September 1998. (document), 2.4, 2.4.3, 2.10

- [Esveld-1998-2] ESVELD, C.; KOK, A. W. M.. **Interaction between moving vehicles and railway track at high speed.** TU Delft, 10-12 September 1998. 1.1, 2.4.3
- [Esveld-2001] ESVELD, C.. **Modern Railway Track.** MRT-Productions, Netherlands, 2001. 2, 2.2.7
- [Esveld-2002] ESVELD, C.; MAN, A. D.. **Use of railway track vibration behaviour for design and maintenance.** TU Delft, 2002. 2.3, 2.3
- [Graff-1975] GRAFF, K. F.. **Wave motion in elastic solids.** Clarendon Press, Oxford, 1975. 2.5
- [Gupta-1975] GUPTA, K. K.. **On a finite element method for free vibration analysis of structure.** p. 105–120, 1975. 2.6
- [Gupta-1976] GUPTA, K. K.. **Development of a finite dynamic element for free vibration analysis of two-dimensional structure.** p. 1311–1327, 1976. 2.6
- [Gupta-1978] GUPTA, K. K.. **Finite dynamic element formulation for a plane triangular element.** p. 1431–1448, 1978. 2.6
- [Gupta-1984] GUPTA, K. K.; ASCE, M.. **Frequency-dependent matrices for tapered beams.** volumen 112, 1984. 2.6
- [Heelis-1999] HEELIS, M.; CHAPMAN, D. ; KRYLOV, V.. **Predicting and measuring vertical track displacements on soft subgrades.** Railway Engineering, 1999. 2.3
- [Kekesi-1998] KEKESI, L.; KAZINCZY, L.. **Dynamical measurements on the ballast railway track.** Symposium in Civil Engineering, 1998. 2.3
- [Kolusek-1973] KOLUSEK, V.. **Dynamics in Engineering Structural.** Butterworths, 1973. 2.5
- [Krylov-2000] V. V. KRYLOV, A. R. DAWSON.2, M. E. H.; COLLOP, A. C.. **Rail movement and ground waves caused by high speed trains approaching track soil critical velocities.** volumen 214 Part F, 2000. 2.3
- [Lichtberger-2001] LICHTBERGER, B.. **Track maintenance strategies for ballasted track - a selection.** Netherlands, 2001. 2.3

- [Martin-2003] MARTIN, X. D.; TORBJÖRN, E. ; WIBERG, N. E.. **An integrated vehicle-trail-ground model for investigating the wheel-rail dynamics forces due to high axle loads.** 6th International on Contact mechanics and Wear of Rail Wheel Sytems (CM2003), 10-13 junho 2003. (document), 1.1, 2.3, 2.3, 2.4, 2.4.2, 2.9, 2.4.2, 2.4.2
- [Niakas-2001] NIAKAS, T. N.; PAPADOPoulos, C. A.. **Parametric study of the response of a rail track.** First Nat. Conf. on Recents Advanceds in Mech. Eng., 17-20 Setember 2001. (document), 1.1, 2.3, 2.4, 2.4.1, 2.8, 2.4.1
- [Nilsen-1995] NIELSEN, J. C. O.; IGELAND, A.. **Vertical dynamic interaction between train and track influence of wheel and track imperfections.** Journal of Sound and Vibration, p. 714–728, 1995. 2.3
- [Paz-1975] PAZ, M.; DUNG, L.. **Power series expasion of the general stiffness matrix for beam elements.** p. 449–459, 1975. 2.6
- [Prazeres-2005] PRAZERES, P. G. C.. **Desenvolvimento de elementos finitos híbridos para a análise de problemas dinâmicos usando superposição modal avançada.** 172 f. Dissertação de Mestrado - Programa de Pós-graduação em Engenharia Civil, Pontifícia Universidade Católica do Rio de Janeiro, Rio de Janeiro, 2005. 3.3
- [Przemieniecki-1968] PRZEMIENIECKI, J. S.. **Theory of Matrix Structural Analysis.** Dover Publications, New York, 1968. 2.6, 3.4
- [Rail-One] RAIL ONE GmbH Pfleiderer track systems, Neumarkt, Germany. **Railway Technology.** (document), 2.4, 2.2.6
- [Railway-2004] KERR, A. D.. **Fundamentals of Railway Track Engineering.** Simmons Boardman Books, Universidade de Delaware, EUA, 2004. (document), 2.2, 2.3, 2.4, 2.2.6
- [Telliskivi-2001] T. TELLISKIVI, ULF. OLOFSSON, U. S.; KRUSE, P.. **A tool and a method for fe analysis of wheel and rail interaction.** Stockholm, Sweden, 2001. 2.3
- [Verichev-1998] VERICHEV, S. N.; METRIKINE, A. V.. **Dynamic rigidity of a beam in a moving contact.** volumen 41, p. 1111–1117, 2000. 2.3
- [Vicent-2001] VICENT, G.. **Modal analysis and numerical modeling of a concrete railway sleeper.** 130 f. MastersThesis - Division of

Structural Engineering at Chalmers, Chalmers University of Technology,
Gothenburg, 2001. 2.3

[Voss-1987] VOSS, H. A.. **A new justification of finite dynamic element methods.** volumen 83, p. 232–242, 1987. 2.6

[Vostroukhov-2003] VOSTROUKHOV, A. V.; METRIKINE, A. V.. **Periodically supported beam on a visco-elastic layer as a model for dynamic analysis of a high-speed railway track.** p. 572585, 2003. 2.3

[Warburton-1976] WARBURTON, G. B.. **The Dynamical Behaviour of Structures.** Pergamon Press, Oxford, 1976. 2.5

[Wu-2002] WU, T. X.; THOMPSON, D. J.. **Wheel/rail interaction with coupling between vertical and lateral directions.** August 2002. 2.3

[Zhai-1997] ZHAI, W. M.; CAI, Z.. **Dynamic interaction between a lumped mass vehicle and discretely supported continuous rail track.** p. 987–997, 1997. 2.3

[Zhai-2003] ZHAI, W. M.; WANG, K. Y. ; LIN, J. H.. **Modelling and experiment of railwayballast vibrations.** p. 673–683, 2003. (document), 5.6, 5.1, 5.2, 5.3, 5.6

A**Procedimento de transferência de dados entre Maple, Fortran e Matlab**

A implementação computacional dos elementos unidimensionais de viga e treliça utilizados na modelagem de uma via férrea foi feita utilizando o software Maple. Para cada elemento, as matrizes de rigidez, massa e amortecimento foram obtidas utilizando-se de um desenvolvimento em série em função de uma freqüência circular de vibração ω . Como resultado deste desenvolvimento, chega-se a um problema de autovalor não-linear. O problema é solucionado por um método interativo de sub-espaço denominando Jacobi-Davidson . Utilizando-se desses conceitos, (Dumont-2006-1) desenvolveu uma rotina em fortran para solução geral de problemas de autovalor não-linear. Entretanto, como as matrizes foram desenvolvidas em Maple, houve a necessidade de criar um procedimento de interação entre Maple e fortran, onde os dados de entrada são fornecidos pelo Maple e os autovalores e autovetores são calculados pela rotina NL_eigen_complex em fortran.

A seguir, é apresentado o procedimento utilizado para obtenção dos autovalores e autovetores, fazendo-se uso da rotina NL_eigen_complex (Dumont-2006-1).

Procedimento para entrada de dados**Entrada de dados**

<i>net</i>	<i>Dimensão das matrizes</i>
<i>nw</i>	<i>Número de matrizes de massa</i>
<i>nn</i>	<i>Número de linhas da matriz</i>
<i>num_inter</i>	<i>Número limite de interações</i>

Gravando as matrizes

- [1] arq1:=‘ K.txt ‘: *Nomeando o arquivo txt*
- [2] fd1:=fopen(arq1,WRITE,TEXT): *Declara a função do arquivo txt*
- [3] fprintf(fd1,’ %q \n’,‘exemplo com elementos de Ferrovia’): *Gravando o título do arquivo txt*
- [4] fprintf(fd1,’ %g %g %g \n ‘ , net, nw, num_iter): *Gravando, respectivamente, as dimensões da matriz, o número de matrizes de massa e o número limite de interações*

mente, a dimensão , o número de matrizes e o limite de interações no arquivo txt

- [5] Inicio do Loop para armazenamento das matrizes
- [5.1] **for** inw **from** 0 **to** nw **do** Percorrendo o número de matrizes
- [5.2] **for** i **to** net **do** Percorrendo o número de linhas
- [5.3] **for** j **to** net **do** Percorrendo o número de colunas
- [5.4] **fprintf**(arq1, ‘ %.16E \t ‘, $Kest_{inw(i,j)}$): Gravando as matrizes no arquivo arq1.txt
- [5.5] **od**: Fim do loop [5.1]
- [5.6] **fprintf**(arq1, ‘ \n ‘): Imprime as matrizes em arq1.txt
- [5.7] **od**: **od**: Fim dos loops [5.2] e [5.3]
- [6] **fclose**(arq1): Fecha o arquivo arq1.txt
- [7] **system**(NL_eigen_complex): Chama a rotina em fortran que determina os autovalores e autovetores do problema
- [8] $npal$ Número de palavras no título (exemplo: Teste com elementos de Ferrovia = 5 palavras)

Procedimento para saída de dados

Lendo Autovalores Reais

- [9] $arq:=$ ‘ Omega_phi.txt ‘: Nomeia o arquivo de saída dos autovalores
- [10] $fd:=$ **fopen**(arq,READ,TEXT): Abre o arquivo de saída dos autovalores
- [11] $titulo:=$ vector($npal$,0): Cria um vetor para armazenar o título
- [12] **for** i **to** $npal$ **do** Loop para armazenar o título
- [12.1] $titulo_i:=$ **fscanf**(fd, ‘ %s ‘)[1]: Leitura do título
- [12.2] **od**: Fim do loop [12]
- [12.3] **print**($titulo$); Imprime na tela o título
- [13] $nauto:=$ **fscanf**(fd, ‘ %d ‘)[1]; Leitura do número de autovalores
- [14] $n:=$ **fscanf**(fd, ‘ %d ‘)[1]; Leitura do número de matrizes de massa
- [15] $num_iter:=$ **fscanf**(fd, ‘ %d ‘)[1]; Leitura do número limite de interações
- [16] $\omega:=$ vector($nauto$, 0): Cria um vetor nulo para armazenar os autovalores
- [16.1] **for** i **to** $nauto$ **do** Loop para armazenar os autovetores
- [16.2] $\omega_i:=$ **fscanf**(fd, ‘ %f ‘)[1]: Leitura dos autovalores
- [16.3] **od**: Fim do loop [16.1]
- [16.4] **print**(ω); Imprime na tela os autovalores
- [17] $\Phi:=$ **matrix**($nauto$, nn , 0): Cria uma matriz nula para armazenar os autovetores
- [17.1] **for** i **to** $nauto$ **do** Loop para leitura do número de autovalores
- [17.2] **for** j **to** nn **do** Loop para leitura do número de colunas

- [17.3] $\Phi_{i,j} := \text{fscanf}(fd, '\%f')[1]$: Leitura dos autovetores
- [17.4] **od**; Fim do loop [17.1]
- [17.5] **od**; Fim do loop [17.2]
- [17.6] **print**(Φ); Imprime na tela os autovetores
- [18] **fclose**(arq): Fecha o arquivo arq.txt

Lendo Autovalores Complexos

- [19] arqc:='Complex_omega_phi.txt': Nomeia o arquivo de saída dos autovalores
- [20] fc:=**fopen**(arqc,READ,TEXT): Abre o arquivo de saída dos autovalores
- [21] cauto:=**fscanf**(fc,'%d')[1]; Leitura do número de autovalores
- [22] n:=**fscanf**(fd,'%d')[1]; Leitura do número de matrizes de massa
- [23] num_iter:=**fscanf**(fd,'%d')[1]; Leitura do número limite de interações
- [24] $\omega := \text{vector}(cauto, 0)$: Cria um vetor nulo para armazenar os autovalores
- [24.1] **for** i to cauto **do** Loop para armazenar os autovalores
- [24.2] $\omega_i := \text{fscanf}(fc, '\%a')[1]$: Leitura dos autovalores
- [24.3] **od**: Fim do loop [24.1]
- [24.4] **print**(ω); Imprime na tela os autovalores
- [25] $\Phi := \text{matrix}(cauto, nn, 0)$: Cria uma matriz nula para armazenar os autovetores
- [25.1] **for** i to cauto **do** Loop para leitura do número de autovalores
- [25.2] **for** j to nn **do** Loop para leitura do número de colunas
- [25.3] $\Phi_{i,j} := \text{fscanf}(fd, '\%a')[1]$: Leitura dos autovetores
- [25.4] **od**; Fim do loop [25.1]
- [25.5] **od**; Fim do loop [25.2]
- [25.6] **print**(Φ); Imprime na tela os autovetores
- [26] **fclose**(arqc): Fecha o arquivo arqc.txt

Colocando os autovalores na forma $a + bi$

- [27] $\Omega := \text{vector}(cauto, 0)$: Cria um vetor nulo Ω
- [27.1] **for** j to cauto **do** Início do Loop
- [27.2] $\Omega_j := (\omega_j)[1] + (\omega_j)[2] * I$; Coloca os autovalores na forma $a + bi$
- [27.3] **od**: Fim do Loop
- [27.4] **print**(Ω) Imprime na tela os autovalores na forma $a+bi$
- [28] $\phi := \text{matrix}(cauto, nn, 0)$: Cria uma matriz nula ϕ
- [28.1] **for** i to cauto **do** Loop para leitura do número de autovalores
- [28.2] **for** j to nn **do** Loop para leitura do número de colunas
- [28.3] $\phi_{i,j} := (\Phi_{i,j})[1] + (\Phi_{i,j})[2] * I$; Coloca os autovetores na forma $a+bi$
- [28.4] **od**: Fim do Loop [28.1]

[28.5] **od**: Fim do Loop [28.2]

[28.6] **print**(ϕ) Imprime na tela os autovetores na forma $a+bi$

Exemplo

Considere uma estrutura com 8 graus de liberdade com rigidez, massa e amortecimento conhecidos e geometria definida. Assim pode-se modelar seu comportamento dinâmico tendo em vista a equação, para $n = 2$

$$(K_0 - i\omega C_1 - \omega^2 M_1 - i\omega^3 C_2 - \omega^4 M_2) \phi = 0 \quad (\text{A-1})$$

onde K , M e C são, respectivamente, as matrizes de rigidez, massa e amortecimento e ϕ é uma matriz cujas colunas são os autovetores do problema.

Utilizando a norma de Frobenius , podemos representar a ordem de grandeza das matrizes em série por um número, assim

$$(1,6507.10^9 - 1,2045.10^5 i\omega - 2,0990.10^2 \omega^2 - 1,7331.10^{-2} i\omega^3 - 4,9878.10^{-5} \omega^4) \phi = 0 \quad (\text{A-2})$$

Fornecendo os dados de entrada no Maple,

$$net := 8, \ nw := 4, \ nn := 8, \ e \ num_iter := 100 \quad (\text{A-3})$$

a rotina NL_eigen_complex calcula e fornece inicialmente os autovalores (A-4) e autovetores reais

1	$0, 1026.10^7$	5	$0, 9329.10^8$
2	$0, 1097.10^7$	6	$0, 1368.10^9$
3	$0, 1639.10^7$	7	$0, 3322.10^9$
4	$0, 3954.10^7$	8	$0, 1246.10^{10}$

(A-4)

e em seguida os autovalores (A-5) e autovetores complexos.

1	$(994, 0559; -210.3218)$	5	$(9659, 1417; -0.3341)$
2	$(1027, 6393; -223.6788)$	6	$(11698, 6081; -1, 0153)$
3	$(1265, 7678; -203.5979)$	7	$(18226, 4981; -0.6475)$
4	$(1981, 5970; -155.0148)$	8	$(35302, 1539; -0.0049)$

(A-5)

Por fim, esses autovalores (A-6) e seus correspondentes autovetores são colocados na forma $a + bi$

1	$(994, 0559 - 210, 3218i)$	5	$(9659, 1417 - 0, 3341i)$
2	$(1027, 6393 - 223, 6788i)$	6	$(11698, 6081 - 1, 0153i)$
3	$(1265, 7678 - 203, 5979i)$	7	$(18226, 4981 - 0, 6475i)$
4	$(1981, 5970 - 155, 0148i)$	8	$(35302, 1539 - 0, 0049i)$

(A-6)

Para a plotagem de pontos (x, y) gerados no Maple em Matlab, podemos utilizar o seguinte esquema:

Armazenamento dos pontos gerados no Maple em um arquivo txt

- [1] **restart; with(plots):** Reinicializando o Maple e chamando o pacote de plot
- [2] **x:= vector ([seq (f(i), i = 1..np)]):** Criando um vetor de coordenadas x
- [3] **np:** Número de pontos
- [4] **system(delall):** Limpando informações anteriores
- [5] **pontos:=‘pontos.txt’:** Nomeando o arquivo de coordenadas
- [6] **y:=vector(np,0):** Criando um vetor nulo de coordenadas y
- [7] **for j to np do** Loop para geração dos pontos
 - [7.1] **$y_j = f(x_j)$:** Relação entre as coordenadas
 - [7.2] **fprintf(pontos,’%.16E \t’, x_j):** Escreve a coordenada x_j em pontos.txt
 - [7.3] **fprintf(pontos,’%.16E \t’, y_j):** Escreve a coordenada y_j em pontos.txt
 - [7.4] **fprintf(pontos,’\n’):** Distribui as coordenadas em coluna
 - [7.5] **od:** Fim do Loop
 - [7.6] **print(x,y);** Imprime as coordenadas
- [8] **fclose(pontos)** Fecha o arquivo pontos.txt

Leitura dos pontos no Matlab e plotagem do gráfico

- [9] **load pontos.txt** Carrega o arquivo txt de coordenadas
- [10] **x=pontos(:,1);** Lê a primeira coluna de dados
- [11] **y=pontos(:,2);** Lê a segunda coluna de dados
- [12] **plot(x,y);** Gera o gráfico (x_i, y_i) no Matlab

Como ilustração, são plotados na figura (A.1) os autovalores e seus respectivos conjugados no plano real e imaginário, utilizando os pontos gerados no Maple e plotados no Matlab.

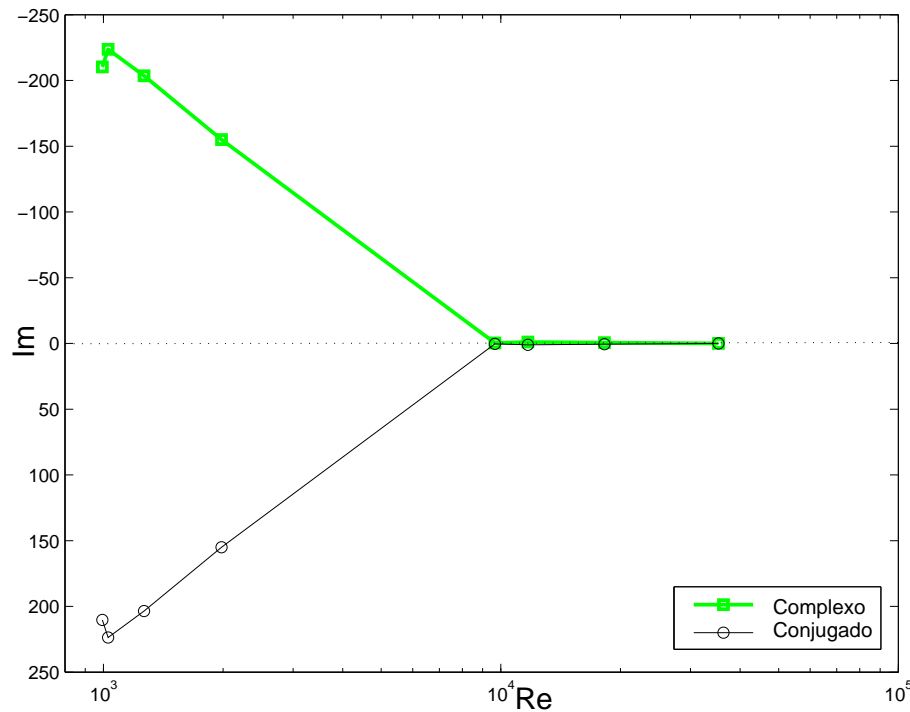


Figura A.1: Distribuição dos autovalores no plano real e imaginário

A justificativa para utilização do Matlab para geração de gráficos está vinculada a qualidade que este programa proporciona, principalmente quando requer-se figuras nos formatos ps e eps, utilizadas em ambiente Latex.